

السلوك الحراري والإنساني للكتل الخرسانية الخفيفة باستبدال الحصى النهري مع تحليل اقتصادي

عاطف علي حسن عماد راغب كاظم نعمان منذر
جامعة التقنية الوسطى - معهد التكنولوجيا / بغداد

Thermal and constructional behavior of light concrete block using many crushed materials as aggregate with economic analysis

Atif A.H. Emad R. and Naman M.
Middle Technical University - Technology Institute

Abstract

The riverine aggregate have high mass density (2700Kg/m^3) and thermal conductivity (2.8W/m.c^0) this reflects the properties of the block concrete in order to decrease these properties , the riverine aggregate must be replaced by any materials have low density and thermal conductivity such as : scrap brick , lime stone , or black stone (pumice).

In this paper, block concrete samples (solid and hollow), with dimensions of ($200\times200\times200\text{mm}$) , were constructed mixing ratio of (4:2:1)by mass and water percentage of 0.5 were used . The thermal and constructional behavior of these blacks was investigated at Baghdad climate zone during one year at 21th day of each month for 15 hr/day.

The test results showed that, using pumice racks as aggregate reduced the density by about 44% and increased the energy saving by about 34%. However, this enhancing in the properties was accompanied with reduction in the tensile and compression stresses of unloaded walls. Using limestone as aggregate gave 20% reduction in density with 5% increase in the energy saving 60% reduction in density and 40% increase in the energy saving were achieved when using gypsum block with fiber glass layers.

Key words: Block concrete, replacement aggregate, wall heat transmission reduction, Pumica stone & limestone in concrete, building energy conservation.

المستخلص

لكون الحصى النهري يمتلك كثافة كتالية مرتفعة (2700Kg/m^3) كغم/ م^3 ومعامل توصيل حراري عالي (2.8W/m.c^0) مما ينعكس على مقدار تلك الخواص في الكتل الخرسانية (الصلدة والموجفة) التي يدخل في تركيبها المستخدمة في البناء حالياً. لذلك تم الاستعاضة عنه بما يتتوفر في الطبيعة من مواد ذات صفات كتالية وحرارية منخفضة (كسر الطابوق [مخلفات البناء] - الحجر الكلسي والحجر الأسود [الخفاف]) مما ينعكس على تقليل تلك الخواص للكتل الخرسانية. لذلك تم إعداد نماذج للكتل الخرسانية الصلدة والموجفة وبأبعاد ($200\times200\times200\text{mm}$) ملم وباستخدام نسبة خلط (4:2:1). تم اختبار النماذج حرارياً وإنمائياً ضمن الظروف المناخية لمدينة بغداد (خط عرض 33.2 درجة شمالاً) خلال عام 0.5 كامل ولليوم (21) من كل شهر وبمعدل 15 ساعة/يوم.

وتبين من نتائج البحث أن استخدام الحجر الأسود (الخفاف) بدلاً من الحصى يقلل وزن الجدار بنسبة 44% ويزيد مقدار التوفير في الطاقة إلى 34% ولكن مقدار مقاومة الشد والانضغاط تقل كثيراً إضافة إلى ارتفاع الامتصاصية كثيراً، ومن الممكن استخدام الحجر الكلسي بديلاً عن الحصى النهري لأنه يقلل وزن الجدار بنسبة 20% ولكنه يوفر طاقة في حدود 5%. ومقاومة الشد والانضغاط تقل قليلاً واتضح من الدراسة أن استخدام الكتل الجبسية الموجفة والمسلحة بشبكة الفايبر كلاس يقل وزن الجدار في حدود 60% ويكون التوفير في الطاقة في حدود 40%.

الكلمات المفتاحية: الكتلة الخرسانية - بدائل الحصى - تقليل انتقال الحرارة من الجدار - الحجر الكلسي و الحجر الأسود (الخفاف) في الخرسانة - ترشيد استهلاك الطاقة في الابنية.

المقدمة

إن المناخ السائد في عموم العراق، هو المناخ شبه الصحراوي، حيث يستمر فيه فصل الصيف أكثر من (7) أشهر، تستطع الشمس خلاله حوالي (14) ساعة/يوم، وتصل درجة حرارة الهواء (في الظل) إلى ما يقارب 50°C (قياسات الباحث)،

بينما تمتاز المنطقة بفضل شتاء قصير (ثلاثة أشهر) ولا تتحفظ خلاله درجة حرارة البيئة أقل من 4°C، والكتل البناية التي تشکل الجدار تعمل على تخميد تردد الموجة الحرارية المؤثرة وتأخير مرورها ولكن بالرغم من ذلك، فإن درجة حرارة القشرة الداخلية للجدار سترتفع بعد فترة تعتمد على الخواص الحرارية والكتلية لتلك المكونات(1) وبالتالي تؤثر في تغيير المستوى القياسي لحدود الراحة الحرارية داخل تلك الأبنية. إن الجدار التقليدي شائع الاستخدام ومنذ عقود وفي عموم العراق هو البناء بالطابوق الفني سمك 240 ملم مع استخدام طبقتي إنهاء – خارجية (لبخ) الاكساء بالسمنت سمك 20 ملم، وداخلية بياض بالجص سمك 25 ملم والذي يمتلك بهذه الصيغة معامل انتقال حراري إجمالي قدره 1.514 W/m²، وزن الجدار (288 كغم/m²) (2) وهو رقم كبير ومهمما كانت نسبة تخميد تردد الموجة الحرارية المؤثرة، وعليه فان كمية الحرارة المستربة خلاله الى داخل المبني (صيفاً) ستكون كبيرة ومتوسط حمل التكيف المطلوب توفيه سيكون في الحدود (10.5) طن تبريد/متر مربع. وبما أن الاتجاهات الحديثة تشير الى تزايد استخدام الأبنية الهيكليه (الحديدية أو الخرسانية) ذات الجدران غير الساندة كنظام تشيد سريع، حيث يكون فيها الجدار مؤلف من الطابوق الفني سمك 120 ملم مع وجود طبقي الإناء يبني متطلبات تلك الأبنية ومما زاد من مقدار معامل انتقال الحرارة للجدار ليصل (2.282) W/m² مع تقليل واضح لوزن المقطع الى (144 كغم/m²). (بافتراض أن الفراغات الموجودة في الطابوق ستتماً بالسمنت ولا تترك فارغاً) وبذلك زادت كمية الحرارة المنتقلة خلاله الى المبني وتقدر متوسط الحمل التبريدي المطلوب 11 طن تبريد لكل متر مربع ولمحدودية مواد التشيد الأخرى المتوفرة في السوق المحلية [الكتل الخرسانية الصالحة سمك 140 ملم (معامل انتقال حراري إجمالي 3.35 W/m²) – وزن المقطع الإنساني (322 كغم/m²)]، الكتل الخرسانية الم gioفة سمك 200 ملم (معامل انتقال حراري إجمالي 2.613 W/m²) وزن مقطعه الإنساني (288 كغم/m²)، الترمستون سمك 200 ملم (معامل انتقال حراري كلي 0.865 W/m²) وزن مقطعه الإنساني (152 كغم/m²) (2) وتبعاً لبيانات الجهاز المركزي للإحصاء (3) والتي تشير الى ان عدد الوحدات السكنية المشيدة باستخدام الطابوق في عموم العراق تقدر بحوالي (79%) من إجمالي عدد الدور المشيدة في العام 2011 بينما ما يشيد باستخدام الكتل الخرسانية الم gioفة تقدر بحوالي (18%)، وبما أن العراق مقبل على حملة إعمار ضخمة، فلهذا يتطلب ضرورة البحث دائماً عن مواد بناء لا تعتمد الطين في مكوناتها بسبب كون التراب المطلوب لإنتاج الطابوق هو التربة الخالية أو قليلة الأملاح وأن زيادة إنتاجه سيتطلب الزحف باتجاه الأراضي الزراعية مما يؤدي الى تقليص مساحة الرقعة الزراعية (4)، لذلك برزت الحاجة الى إيجاد بدائل طبيعية تعتمد其 الأنظمة الإنسانية في تشيد الأبنية الهيكليه، تمتاز كذلك بسرعة التنفيذ وأن لا تكون مرتبطة بالاستيراد أو بتوفير رؤوس الأموال القادرة على الاستثمار داخل العراق لتوفير بدائل لا تغير من واقع الأرض كثيراً وتلبى في الوقت نفسه متطلبات أنس ومعايير ترشيد الطاقة المستهلكة داخل الأبنية ومن الجهود المبذولة في هذا المجال استخدام الحجر الكلسي بشكل صندوق يوضع العازل الحراري داخله ويجمع موقعاً (5) أو باستخدام قطع خرسانية لتشكيل صندوق يوضع العازل الحراري داخله ويجمع موقعاً (6) وكذلك خلط التراب مع السمنت لإيجاد كتل اسمنتية خفيفة (7) أو اكساء جدار المبني الأصلي بمواد عاكسة وغازلة لتقليل درجة حرارة الجدار (8) أو إكساء الجدران بخلايا فولتاينية لتخفيض الحمل الحراري وتوليد الطاقة المجانية في الوقت نفسه (9) أو استخدام الجبس الناتج عن المخلفات الصناعية لانتاج كتل بنائية (10) او استخدام احجار الزيوليت بمفردها (11) او مع الألياف الرجاجية (12) لانتاج كتل خفيفة .

مما تقدم ، يعتقد الباحثون بضرورة التقنيات عن بدائل للطابوق وإحدى تلك البدائل الكتل الخرسانية الصالحة بشرط تحسين أدائها الحراري ويتحقق هذا باستبدال الحصى النهري الذي يدخل في تركيبها لكونه السبب الرئيسي في زيادة الكثافة الكتلة للخرسانة وارتفاع معامل انتقالها الحراري حيث تكون كثافة الحصى النهري (2700) كغم/m³ ومعامل التوصيل الحراري له (2.8) W/m.º. لذلك اقترح الباحثون استبداله بالحجر الكلسي (Limestone) ومخلفات الطابوق التي سبق ان درست من قبل عدة باحثين (13,14) (على سبيل المثال) ومقارنة النتائج مع استخدام الحجر الأسود البركاني الخفاف (Pumica) لإنتاج كتل بناء اسمنتية خفيفة الوزن.

مراحل تحقيق هدف البحث

لغرض تحقيق هدف البحث في تحسين الأداء الحراري للكتل الخرسانية التي تستخدم لتشيد الجدران غير الساندة في الأبنية الهيكليه وإيجاد بدائل طبيعية لمادة الحصى النهري الداخل في تركيبها . تم اعداد كتل بنائية أبعادها (150x150X150) cm ملم لأغراض الفحوصات الإنسانية واختبار نسبة الخلط (1:2:4) الطريقة الوزنية وتبينت نسبة الماء الداخل في الخلطة (0.5) واختيار السمنت البورتلاندي الاعتيادي والمطابق للمواصفات العراقية 1984 ، بينما اعتمدت المواصفات البريطانية (B.S 882/1992) (15) عند خلط المكونات ، تم استخدام رمل الأخضر كركام ناعم وحصى النباتي كركام خشن ، بعد عملية الغسل والتجفيف تمت فحوصات التدرج للتأكد من مطابقة الخلطة للمواصفات البريطانية المشار إليها وكما موضح في الجدول (2) بينما النماذج ذات الأبعاد (200x200x200) ملم اعتمدت لأغراض الفحوصات الحرارية . اعتمدت النماذج التالية في البحث :

- A- كتل خرسانية صلبة وجوفة / استخدام كسر الطابوق (مخلفات الطابوق) بعد توفير التدرج القياسي لحجم قطع الطابوق كبديل للحصى النهري وزنياً .
- B- كتل خرسانية صلبة وجوفة / استخدام الحجر الكلسي الأحمر (Limstone) المتوفر بكثرة في المناطق الغربية والشمالية الغربية من العراق – بعد تكسير الحجر وإيجاد التدرج القياسي له واستخدامه بديل للحصى النهري وزنياً.

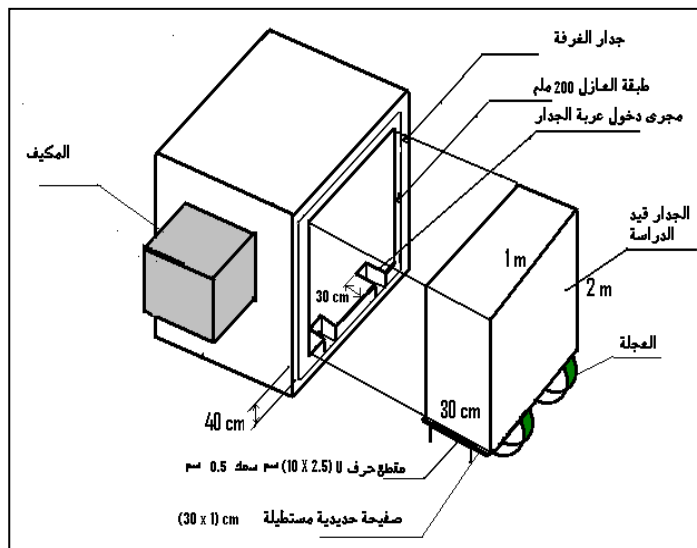
- C- كتل خرسانية صلدة ومجوفة باستخدام الحجر الأسود البركاني (الخفاف) (Pumica) المتوفّر بكثرة في شمال وشمال شرق العراق بعد تكسير الحجر للحصول على التدرج القياسي واستخدامه بديل عن الحصى النهرى وزنياً .
D- كتل مصنوعة من الجص (صلدة ومجوفة) مع استخدام شبكة من الفايبركلاس لزيادة قابليتها للانضغاط .
E- مقارنة النتائج مع الجدران المنشية بالطابوق العادي .

و فيما يتعلّق بالاختبارات الحرارية للكتل آنفة الذكر، تم تشييد غرفة أبعادها (2x1) م والجدار (2x1) م موافق للشرق و مشيد من إحدى المواد آنفة الذكر (جدار الاختبار) بثبات المتغيرات التالية :

- 1 منطقة البحث - مدينة بغداد - خط عرض 33.2 درجة شمالاً (متوسط خطوط العرض المارة في العراق).
-2 موقع غرفة الاختبار: الطابق الثالث من مبني يرتفع (6) م عن الأرض - لكي تكون الغرفة (جهد الإمكان) معرضة للبيئة طيلة ساعات النهار وعدم وجود عائق يمنع تأثير الأشعة الشمسية عليها.
-3 اتجاه الجدار قيد الدراسة هو الشرق / والرياح السائبة صيفاً في مدينة بغداد شمال غرب (الرئيسية)، شمال (الثانوية) (2) لذلك لن يكون لها تأثير واضح على تغيير درجة حرارة سطح طبقة الإناء الخارجية للجدار (قيد الدراسة)، أما تأثير دخول هواء البيئة إلى داخل غرفة الاختبار، فتم وضع الاحتياطات الالزامية لجعل الهواء ساكن داخل الغرفة (باستثناء حركة الهواء نتيجة عمل مكيفة الهواء).
-4 توجيه الجدار قيد الاختبار نحو الشرق (لكون أن البحث لا يتعلّق بتحديد أفضل توجيه، بل يتطلّب دراسة السلوك الحراري لتحديد أفضليّة مادة عن أخرى ولا ضرر من تثبيت التوجيه) والجدول (1) يوضح تأثير تغيير التوجيه على حمل التبريد لجدار من الطابوق (من قياسات الباحث/2010).

جدول (1): تأثير تغيير توجيه الجدار على كمية الطاقة الكهربائية المستهلكة لاغراض التكيف

نسبة المئوية لتغير الطاقة المستهلكة نسبة لاتجاه الشرق %	الطاقة الكهربائية المستهلكة بوحدات kw-hr شهرياً	السعه التبريدية بوحدات طن تبريد شهرياً	فرق درجات الحرارة بين الجدار والحيز	درجة حرارة السطح الداخلي المواجه للغرفة Tr	درجة حرارة السطح الخارجي To للجدار	درجة حرارة الظل Tsh	توجيه الجدار
- 20.8	16.1	21.4	9.03	35.53	43.31	39.034	N الشمال
-4.8	19.35	25.7	10.86	37.36	45.54		NE الشمال الشرقي
	20.33	27	11.4	37.9	46.2		E الشرق
- 0.74	20.18	26.8	11.32	37.82	46.10		SE الجنوب الشرقي
- 2.61	19.8	26.3	11.1	37.6	45.84		S الجنوب
+ 5.26	21.4	28.4	12	38.5	47.02		SW الجنوب الغربي
+ 2.61	20.86	27.7	11.7	38.19	46.55		W الغرب
-5.02	19.3	25.65	10.83	37.33	45.41		NW الشمال الغربي



شكل(1):تفاصيل غرفة الاختبار

- 5- لغرض تقليل انتقال الحرارة عبر المساحات الأخرى للغرفة، تم استخدام ألواح الستايروبور (اليولي ستايروبور) سمك (200) ملم لتغليف سقف وأرضية وجوانب الغرفة لتحميد هذه المصادر جهد الامكان بحيث يكون انتقال الحرارة من جدار الواجهة (الجدار قيد الدراسة) هو المصدر المؤثر في تغيير مستوى الراحة الحرارية داخلها.
- 6- استخدام مكيفه هواء جدارية سعتها طن تبريد واحد لتوفير الطروف الحرارية المناسبة داخل الغرفة لا جراء القياسات المطلوبة.
- 7- مستوى الراحة الحرارية المطلوب توفيرها داخل الغرفة 26.7°C بصلة جافة، 65% رطوبة نسبية صيفاً، بينما شتاءً تكون 22°C بصلة جافة 50% رطوبة نسبية تكون أن اشغال الحيز يكون أكثر من 40 دقيقة (درجة حرارة هواء البيئة صيفاً (الظل) تقارب 50°C) (16).
- 8- ان مادة الإناء الخارجية للأرض المحيطة بالنموذج هي البلاطات الخرسانية (الستايكر) رصاصي اللون (40x800x800) ملم، ومادة الإناء الداخلية لجداران وسقف الغرفة هي الجص سمك 25 ملم. وبهذا لا يكون هناك تأثير لما ينعكس من أشعة الى جدار الاختبار مما يحيط به
- 9- الاعتماد على البيانات الموضحة في (17) لتقدير معامل انتقال الحرارة بالحمل الحر(h) من الجدار الى حيز الغرفة :

$$h = 1.31 (\Delta t)^{1/3}$$

حيث أن Δt هي فرق درجات الحرارة بين السطح الساخن (الجدار) ودرجة الحرارة القياسية داخل الغرفة. وعليه فان كمية الحرارة المنتقلة بالحمل نتيجة ارتفاع درجة حرارة الهواء الملمس لسطح الجدار المواجه للغرفة في حالة البناء بالكتل المقترحة (Q_{con}) هي :

$$Q_{con} = h \cdot A \cdot \Delta t$$

بينما كمية الحرارة المنتقلة الى الغرفة عند التشييد باستخدام الكتل الخرسانية التقليدية \overline{Q}_{con} ، فإن النسبة المئوية لتنقليل كمية الحرارة نتيجة تغيير مواد البناء ستكون :

$$\Delta Q\% = \frac{\overline{Q}_{con} - Q_{con}}{\overline{Q}_{con}} \times 100$$

- تم الاعتماد على دليل الجمعية الأمريكية لمهندسي التكييف والتبريد والتهوية(18) لتحديد فرق درجات الحرارة المكافئ لحمل التبريد للمقاطع الإنسانية التي تم دراستها عملياً.
- 10- لغرض تقيير الأحمال التبريدية تم قياس درجات الحرارة على جانبي جدار الاختبار باستخدام مقاييس الكترونية مصنوعة من قبل شركة (Intelligent Auto Digital Thermo - meter by Victor Company)
- 11- اعتماد المصدر(19) لتقدير حسابات الكلفة الكلية والتي تحسب من العلاقة التالية:-

$$\text{الكلفة الكلية المطلوبة} = \text{الكلفة الاولية اللازمة لتشييد الجدار} + \text{الكلفة التشغيلية (الثانوية)} \dots (1)$$

الكلفة الاولية اللازمة لتشييد الجدار = كلفة إنشاء الجدار + كلفة شراء منظومة تكييف الهواء + كلفة صيانة مكيفه الهواء + كلفة نصب وتشغيل مكيفه الهواء + كلفة الاشراف الهندسي

الكلفة التشغيلية (الثانوية) = كلفة استهلاك وحدة الطاقة المستهلكة نتيجة عمل مكيفه الهواء + كلفة صيانة مكيفه الهواء + كلفة اندثار مكيفه الهواء + كلفة صيانة الجدار + كلفة اندثار الجدار .

والمتغيرات المفروضة بالاعتماد على نفس المصدر فهي :-

- كلف نصب وتشغيل مكيفه الهواء 5% من كلفة شراء وحدة تكييف الهواء
- كلفة صيانة الجدار سنويًا 3% من كلف تشييد الجدار
- كلفة صيانة وحدة تكييف الهواء سنويًا 5% من كلفة شراء الوحدة .
- كلفة الاندثار السنوي للجدار 4% من كلفة تشييد الجدار.
- كلفة الاندثار السنوي لوحدة تكييف الهواء 10% من كلفة شراء الوحدة .
- العمر الافتراضي للمبني 25 سنة.
- العمر الافتراضي لوحدة تكييف الهواء 10 سنة.
- افتراض إن سعر وحدة تكييف الهواء بعد انتهاء فترة استخدامها (10) سنة هي صفر دينار عراقي
- كلفة شراء وحدة تكييف الهواء 350 دولار لمنظومة تكييف ذات سعة(1) طن اعتماداً على ما متوفّر في الأسواق العراقية
- كلفة شراء وحدة الطاقة الكهربائية 30 دينار لكل (كيلو واط - ساعة)
- اعتماد الاسعار المعمول بها في مدينة بغداد عام 2011. فيما يخص اسعار مواد البناء واجور العمل .

بإمكان حساب الكلفة الكلية لتشييد الجدار من دون افتراض وجود مكيفات هواء في المبنى وبالتالي تم استبعاد كلف الشراء والنصب من الكفالة الأولية وكذلك استبعاد كلف صيانة واندثار الجهاز من الكلفة التشغيلية ، وعليه فإن معادلة حساب الكلفة الكلية ستأخذ الصورة التالية :

$$\text{الكلفة الكلية} = \text{تكلفة إنشاء الجدار} (\text{بضمنها كلف الأشراف الهندسي}) + \text{تكلفة صيانة الجدار} + \text{تكلفة اندثار الجدار} + \text{تكلفة استهلاك الطاقة الكهربائية (2)}$$

12- أن كمية الطاقة الكهربائية التي يستهلكها مكيف الهواء للتخلص من الأحمال الحرارية يتم قراعتها مباشرة بمقاييس الطاقة والمصنع من قبل نفس الشركة ، أما النسبة المئوية لطاقة الكهربائية الموفرة عند استخدام اسلوب التشييد فيحسب من العلاقة التالية :

$$\frac{\text{استهلاك الطاقة في حالة العالية}}{\text{استهلاك الطاقة في حالة العالية}} - \frac{\text{استهلاك الطاقة للمادة البناءية الأخرى}}{\text{استهلاك الطاقة للمادة البناءية الأخرى}} \times 100$$

تم قياس درجات الحرارة على جانبي مادتي الإنهاء الخارجية (المواجهة للبيئة) (T_0) والداخلية (المواجهة لغرفة) (T_i) وكذلك درجة حرارة هواء البيئة (الظل) (T_{sh}) خلال يوم واحد (اليوم الـ 21)/شهر .

النتائج والمناقشة

لغرض تحقيق هدف البحث في إيجاد بدائل لنظام التشييد الذي يعتمد الطابوق أساساً له، تم استخدام الكتل الخرسانية ومحاولة تحسين أداءها الحراري والإنساني بما يتاسب والأجواء الحارة باستبدال الحصى النهري الداخل في إنشائها بما متوفّر من أحجار في المنطقة ونتائج دراسة فحوصات التدرج موضحة بالجدول(2) بينما نتائج الفحص المختبري الإنساني للنمذاج موضح في الجدول (3) و الجدول (4) يوضح المتوسط اليومي لدرجة الحرارة لاختلاف الجدران، بينما السلوك الحراري الساعي موضح بالأشكال(6-2)، والجدول(5) يوضح النتائج الحرارية للنمذاج، ونتائج الدراسات الاقتصادية موضحة في الجداولين (7,6) .

وفي أدناه مناقشة متغيرات البحث :

• فترة اختبار النماذج

تم قياس دراسة السلوك الحراري اليومي للنمذاج المقترنة لليوم الـ (21) من أشهر العام 2011 لمعرفة تصرف هذه النماذج خلال ارتفاع درجة حرارة البيئة أو انخفاضها ، يعني تصرف النماذج عند انتقال الحرارة منها إلى البيئة أو بالعكس

• وزن النماذج قيد الدراسة

من إحدى أوليات البحث – تقليل الكتلة الساكنة للجدار غير السائد- ويوضح من الجدول(3) ان كثافة الكتل الخرسانية الصلدة/ خلطة مرجعية كانت 2350 كغم/م³ ، بينما استبدال الحصى النهري (الركام الخشن) بالحجر الأسود (الخفاف) قد خفض كثافة الكتل إلى 1320 كغم/م³ والنسبة المئوية لتقليل الكثافة كانت في حدود 644% ، بينما استخدام الحجر الكلسي الأحمر قد خفض كثافة النموذج إلى 1900 كغم/م³ وكانت النسبة المئوية لتقليل الكثافة في حدود 20% وكثافة الكتل عند استخدام كسر الطابوق بديل عن الحصى كانت 1700 كغم/م³ و النسبة المئوية لتقليل الكثافة كانت في حدود 28% بينما استخدام الكتل الجديدة التي تم تقويتها بشبكة الألياف الفايبر كلاس (لسهولة المناولة وزيادة مقاومتها للانضغاط) أصبحت كثافتها 980 كغم/م³ والنسبة المئوية لتقليل الكثافة في حدود 59% .

• الخواص الفيزيائية للكتل

يتضح من الجدول (3) ان الكتل الخرسانية الصلدة/ الخلطة المرجعية تمتلك مقاومة انضغاط 24.2 نيوتن/ملم² وامتصاصها للماء حوالي 1.2% ومعدل مقاومة الشد 2.18 نيوتن/ملم² بينما معيار الكسر كان 3.75 نيوتن/ملم². وعند استبدال الحصى النهري / الركام الخشن بالحجر الأسود/ الخفاف فإن مقاومة الانضغاط للكتل الخرسانية الجديدة سينخفض إلى 6.38 نيوتن/ملم² أي أن النسبة المئوية لتقليل مقاومة الانضغاط كانت في حدود 74% بينما زادت من قابلية امتصاصها للماء إلى 35% وكذلك انخفض معدل مقاومة الشد بنسبة 67% ومعيار الكسر بنسبة 60% بينما استبدال الحصى النهري/ الركام الخشن بالحجر الكلسي الأحمر قد خفض مقاومة الانضغاط وكانت النسبة المئوية للتخفيف عن الخلطة المرجعية في حدود 54% بينما زادت الامتصاصية إلى 1.3% والنسبة المئوية لتخفيف معدل مقاومة الشد وكذلك معيار الكسر (نسبة للخلطة المرجعية) قد انخفضت إلى 40% على التوالي. بينما استبدال الحصى النهري/ الركام الخشن بكسر الطابوق/ المخلفات الإنسانية أدى 47%

إلى تخفيف قيم مقاومة الانضغاط والشد ومعيار الكسر بحيث أن النسبة المئوية للتخفيف مقارنة بالخلطة المرجعية كانت في حدود 79% ، 75% على التوالي وزادت الامتصاصية إلى 23% بينما استخدام الكتل الجبسية المسلحة بشبكة الفايبر كلاس زادت من مقاومة الانضغاط والشد ومعيار الكسر عند مقارنتها بالكتل الجبسية الاعتيادية، بينما انخفضت تلك الخواص عند مقارنتها بالكتل الخرسانية وكانت نسبة التخفيف في حدود 33% ، 60% على التوالي.

يتضح مما تم حسابه أعلاه أن استخدام الحجر الكلسي الأحمر بديل عن الحصى النهري يأتي في مقدمة البديل والجبس المسلح بشبكة الفايبر كلاس واستخدام الحجر الأسود (الخفاف) يأتي ثالثاً بينما استخدام كسر الطابوق والكتل الجبسية الاعتيادية قد فشلت في تجارب فحص الانضغاط.

أما قابلية الحجر الأسود (الخفاف) على امتصاص الماء ف تكون عالية وكما موضح في الجدول (2). ويمكن الاستفادة من هذه الخاصية في تقليل كمية الماء الداخلة عند خلط مكونات الخرسانة وكذلك يتم الاستفادة من هذه الخاصية في تقليل فترة غمر الخرسانة بالماء خلال مرحلة التصلب.

• امكانية تشبيب الجدران

الجدول (3) يوضح نتائج قياسات الكثافة والانضغاط والشد للكتل البنائية الخرسانية المستبعد منها الحصى (الركام الخشن) والمعوض عنه بإحدى الأحجار (الحجر الكلسي، الأسود (الخفاف)، كسر الطابوق/ مخلفات البناء). وعند المقارنة مع المواصفات (15)(ASTM) التي اشترطت بالكتل البنائية الساندة ان تكون كثافتها الكتالية 1848 كغم/م³ ولا تقل مقاومتها للانضغاط عن 17 نيوتن/ملم². بينما الكتل التي تستخدم لتشبيب الجدران غير الساندة اشترطت ان تكون كثافتها في الحدود (800-1440) كغم/م³ وحدود تغير مقاومتها للانضغاط -17(7 نيوتن/ملم²). أي ان الكتل البنائية التي تم الاستغناء فيها عن الحصى (قيد الاختبار) لا يمكن استخدامها لتشبيب الجدران الساندة ، بل هي كتل تستخدم للجدران غير الساندة لكون خواصها تقع ضمن حدود المواصفات (باستثناء الكتل التي يدخل فيها كسر الطابوق و الكتل المصنعة من الجص العادي).

جدول (2) : حدود تدرج الركام الخشن والناعم المستخدمة في الخلطات الإنسانية في البحث

الركام الناعم / رمل الأخضر BS:882/1992	الركام الخشن / الناعم						
	النسبة المئوية للمواد المارة خلال المنخل	النسبة المئوية المتر acumulated في المنخل %	قطر فتحة mm المنخل	النسبة المئوية للمواد المارة خلال المنخل	النسبة المئوية للمتراكم في المنخل %	قطر فتحة mm المنخل	
-	-	-	-	100	100	0	37
-	-	-	-	100	100	0	20
100	100	0	10	*(85-50)	*(78-70)	22	9.5
(100-89)	95	5	5	(10-0)	*(10-6)	66	4.75
(100-60)	82.15	12.85	2.36				
(100-30)	66.3	15.85	1.18				
(100-15)	44.55	21.73	0.6				
(70-5)	14.6	29.95	0.3				
(15-0)	3.55	11.05	0.15				

جدول (3) : خواص الفحوصات الإنسانية للنماذج

نماذج الدراسة	نماذج المراجعة	الجص
مقدار الهطول mm	الخططة المرجعية	
الكتافة الكلية kg/m ³		
مقاومة الانضغاط *N/mm ²		
الامتصاصية %		
معدل مقاومة الشد N/mm ²		
معدل معيار الكسر N/mm ²		

* تم الفحص لعينات بعمر 28 يوم

• السلوك الحراري للكتل البنائية

تم دراسة نوعين من الكتل الإنثانية الصلدة والمجوفة – ولجميع البذائل المقترحة والأشكال (2,3,4,5,6) توضح السلوك الحراري الساعي للليوم الـ (21) من أشهر العام 2011. بينما الجدول(4) يوضح متوسط درجات حرارة الهواء (الظل) وكذلك درجتي حرارة سطح الجدار المواجه للبيئة T_0 ، والمواجه للغرفة T_1 بينما متوسط درجة الحرارة لإنجمالي الأشهر الباردة والساخنة يوضحها الجدول(5).

نلاحظ أن درجة حرارة السطح الخارجي للكتل المجوفة تكون أعلى مما تكون عليه للكتل الصلدة باستثناء الكتل الجبسية والكتل الخرسانية التي تستخدمن الحجر الأسود (الخفاف) والسبب يعود إلى أن زيادة المقاومة الحرارية للكتلة سيسمح بتمرير الحرارة خلاله بصورة سريعة وبذلك تنخفض درجة حرارة سطحه الخارجي عند وجود فجوة هوائية داخله فإنها تمتناز بمقاومة حرارية عالية تعرقل مسار الحرارة هذه ولكن في حالة الجبس والحجر الأسود نجد أن الصفات الحرارية لها أقل لذلك يعمل الهواء الموجود في الفجوة على سحب الحرارة ونتيجة لذلك تنخفض درجة حرارة السطح الخارجي، بينما صيفاً ترتفع درجة حرارة البيئة كثيراً لذاك ستكون الموجة الحرارية المؤثرة على الجدار أكبر وأعليه سيكون الدور الأكبر للفجوة الهوائية في عرقلة هذا المسار وباستثناء الكتل الجبسية لانخفاض معامل التوصيل الحراري لها كثيراً.

• التأخير الحراري للكتل البنائية

اتضح من دراسة السلوك الحراري اليومي وعلى مدار العام للكتل البنائية (قيد الدراسة) وكما موضح في الأشكال (6-2). أن الكتل الخرسانية التي استبدل فيها الحصى النهري بمادة كسر الحجر الأسود (الخفاف) وكذلك الكتل الجبسية المسلحة بشبكة الفايبر كلس قد سجلت أعلى زمن تأخير حراري للموجة الحرارية المؤثرة عليها وكانت (9.5) ساعة للكتل الصلدة، (11) ساعة للكتل المجوفة بينما مقدار التخميد الحراري (أي فرق درجات الحراري الأعلى قيمة للموجة المؤثرة والأعلى قيمة للموجة المنتقلة خلال المادة البنائية) كانت للكتل الجبسية (14) م° بينما للكتل الخرسانية التي استبدل فيها الحصى النهري بحجر الخفاف قد سجلت (10) م°. أما الكتل الخرسانية التي استبدل فيها الحصى النهري بكسر الطابوق فقد سجلت تأخير حراري قدره (9) ساعة للكتل الصلدة ، (10) ساعة للكتل المجوفة بينما كان عند الكتل الخرسانية التي استخدمت كسر الحجر الكلسي (الحان) (8) ساعة للكتل الصلدة ، (9) ساعة للكتل المجوفة بينما كانت (7) ساعة للكتل الخرسانية الاعتيادية الصلدة ، (8) ساعة للكتل الخرسانية الاعتيادية المجوفة. وكان عندها مقدار التخميد الحراري الأدنى (8) م° .

• التوفير في استهلاك الطاقة

تم تسجيل كمية الطاقة الكهربائية المستهلكة من قبل مكيفة الهواء لتوفير المستوى القياسي لدرجة الحرارة داخل الحيز خلال أيام القياس في الأشهر الباردة والحرارة ، حيث تم اعتماد التبريد والتدفئة باستخدام الطاقة الكهربائية (ان هذا الاسلوب غير معتمد لتدفئة المساكن لعدد من العوائل العراقية، ولكنه اعتمد لأغراض المقارنة فقط). يتضح من الجدول(5) ان الكتل الخرسانية الصلدة المشيد منها الجدار قد سجلت أعلى حمل حراري أو تبريد ويليه الكتل الخرسانية المجوفة والطابوق الفني (الكون أن الفجوات الموجودة فيه قد ملئت بمادة السمنت بدلاً من الهواء بحكم طبيعة نظام التشيك). وسجلت الكتل الجبسية الحمل الأدنى وتلتها الكتل الخرسانية التي تستخدم الحجر الأسود وكسر الطابوق وكذلك التي تستخدم الحجر الكلسي الأحمر.

بينما التوفير الأعلى المتحقق في استهلاك الطاقة الكهربائية لأغراض التكييف يكون عند استخدام الكتل الصلدة الجبسية حيث وفرت سنوياً بما يعادل 40.3% مما يستهلكه الجدار المشيد بالكتل الخرسانية المجوفة الاعتيادية (التقليدية) ويليه الكتل الخرسانية ذات الحجر الأسود حيث وفرت ما يعادل 34.1% بينما الكتل المجوفة التي استخدمت كسر الطابوق قد وفرت طاقة في حدود 8% وان نسب التوفير المتحقق عند استخدام الحجر الكلسي في صناعة الكتل الخرسانية تقارب مع نسب التوفير عند التشيك باستخدام الطابوق الفني. أما استخدام الكتل الصلدة للتشيك فنجد أن الكتل الجبسية هي الأفضل وتلتها الكتل الخرسانية التي استخدمت الحجر الأسود والكتل الخرسانية التي استخدمت الحجر الكلسي وكما موضح في الجدول(5).

• اقتصادية الكتل الإنثانية

لغرض المقارنة الاقتصادية بين الكتل البنائية قيد الدراسة، تم اقتراض انشاء جدار أبعاده (3x4)m مشيد من إحدى تلك المواد مع وجود طبقة إنتهاء خارجية/ الاكساء بمونة السمنت والرمل (اللبخ) سمك (20) ملم وطبقة انهاء داخلية/ الاكساء بالجص سمك (25) ملم. وتم حساب تفاصيل الكلف الأولية والثانوية وصولاً لتحديد الأدنى كلفة كلية وكما موضح في الجدول (6) تفاصيل حساب الكلف.

بينت نتائج الدراسة الاقتصادية (حساب الكلف الأولية لتشييد الجدار والكلف التشغيلية الثانوية) وكما موضحة في الجدول (6) ان استبدال الحصى النهري بكسر الطابوق / مخلفات البناء له أفضلية وتم تقليل الكلف الكلية السنوية بحدود 4% مما تتطلب الكتل الخرسانية الاعتيادية. بينما تأتي ثانياً الكتل الخرسانية باستبدال الحصى النهري بالحجر الأسود (الخفاف) وبنسبة 0.2% بينما تزداد الكلف الكلية عند استخدام الكتل الخرسانية الصلدة ومهمماً كانت نوعية الأحجار المستخدمة بدلاً من الحصى النهري أي أن الكتل الخرسانية التقليدية كانت أقل كلفة. والسبب يعود إلى تكاليف تكسير ونقل

الأحجار إلى موضع العمل وكذلك الكلف الإضافية لتكسير الأحجار وصولاً للدرج الحجمي المطلوب. لذلك زادت الكلف الكلية، ولكن الكتل الجبسية حققت توفير معقول فكانت في حدود 35% للكتل المجوفة و 28% للكتل الصلدة أقل مما يتحقق عند استخدام الكتل الخرسانية التقليدية / الاعتيادي بينما استخدام الطابوق سmek (120) ملم قد خفض الكلفة الكلية بمقدار 0.7%. ولكن هناك وجه آخر لتقليل الكلف حيث لم يتم حسابه وهو تقليل وزن الجدار أصلاً أي تقليل أبعاد الهيكل الإنساني للمبني أصلاً وكذلك لأسس المبني، لأن استخدام الحجر الأسود في صناعة الكتل الخرسانية يقلل وزن الجدار في حدود 45% عن وزنه عند استخدام الكتل الخرسانية الاعتيادية وعند إضافة هذا التوفير إلى حسابات التوفير السابقة، نعتقد أن التوفير الكلي عند استخدام الحجر الأسود (الخافف) ستكون أكبر مقدار.

لكون أن بعض الأبنية لا تستخدم مكيفات هواء أو لا يعرف أن المبني المشيد سيستخدم مكيف هواء من عدمه لذلك يتطلب أنجاز التقييم الاقتصادي بدون دخال كلف شراء ونصب وصيانة و اندثار جهاز التكييف ، الجدول (7) يوضح تفاصيل الكلف الأولية والتشغيلية وكذلك تسلسل الكلفة الكلية من الأقل إلى الأكبر ، حيث يتضح منه أن الكلفة الكلية للجدار المشيد باستخدام الكتل الجبسية المجوفة والتي تم تقويتها بشبكة من الفايبر كلاس هي الأرخص وتليها الكتل الجبسية الصلدة ومن ثم الكتل الخرسانية التي تستخدم الحجر الأسود وبنسبة تخفيض كما موضح في الجدول قياساً إلى الكتل الخرسانية المجوفة (الاعتيادية)

ما نقدم يمكننا تثبيت الاستنتاجات التالية :

- 1. ان الكتل الخرسانية التي تستخدم الحجر الأسود أو الحجر الكلسي بدلاً من الحصى النهري تستخدم بكفاءة في حالة استخدامه لتشييد الجدران غير الساندة وحسب المعايير الدولية.
- 2. ينصح باستخدام الكتل الجبسية المجوفة والمسلحة بشبكة الفايبر كلاس (تسهيل المناولة) لكونها قد خفضت الوزن الساكن للجدار كثيراً اضافة الى أن كمية الطاقة الكهربائية الموفرة عند استخدامها تكون قريباً من 40% مما يستهلكه الجدار العادي ، لذلك اعتبرت المادة البناءية الأفضل ويفضل استخدامها بعد معالجة امتصاصها العالي للرطوبة ، ونقترح ان يكون البناء باستخدامها أعلى من مستوى الأرض في حدود 70 سم لتجاوز تأثير انتقال الرطوبة من الأرض.
- 3. ننصح باستخدام الكتل الخرسانية التي تستخدم الحجر الأسود / الخافف (بدل الحصى النهري) في تشييد الجدران الغير الساندة (عند تجاوز الرطوبة) لنجاحها في الاختبارات الإنسانية والحرارية . وقد حققت تخفيض في الوزن الساكن للجدار بنسبة 44% عن ما يكون عليه الوزن في حالة التشيد باستخدام الكتل الخرسانية المجوفة الاعتيادية (ويسينعكس هذا على تقليل المقاطع الإنسانية للأعمدة ، الجسور ، السقوف ، الاسس). وفي الوقت نفسه قد وفرت طاقة تعادل 34% مما يستهلكه الجدار الاعتيادي ولكن مقدار مقاومة الانضغاط والشد قد انخفضت كثيراً ويمكن الاستفادة من امتصاصها للماء في تقليل كمية الماء خلال عملية التشكيل ، رغم أن تكلفة تشيد الجدار بهذه المادة قد خفضت الكلف الكلية بنسبة 5% وهو توفر قليل .
- 4. يمكن استخدام الكتل الخرسانية التي تم استبدال الحصى النهري بالحجر الكلسي كاختيار ثالث ، لكونه حقق تقليل في وزن الجدار الساكن بنسبة 20% بينما نسبة التوفير في الطاقة الكهربائية كانت في حدود 5% ولكن مقاومة الانضغاط والشد قد انخفضت قليلاً مقارنة بالخلطة المرجعية رغم أن تكلفة إنشاء الجدار بهذه المادة قد ارتفعت
- 5. يفضل عدم استخدام الكتل البناءية التي تم بها استبدال الحصى النهري بكسر الطابوق لفشل الواضح له في اختبارات الضغط .

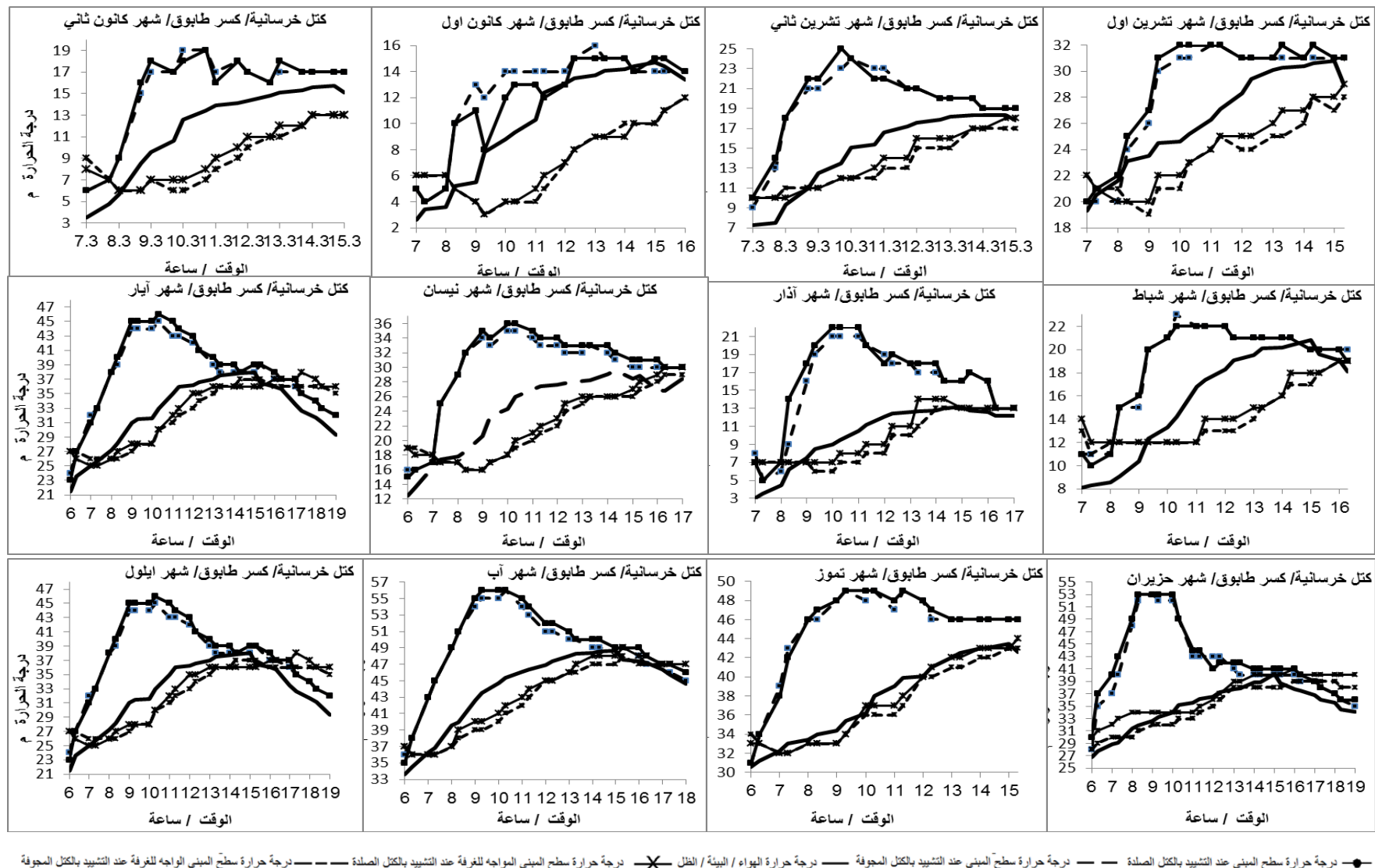
جدول (4) : المتوسط اليومي لدرجتي حرارة سطح الجدار المواجه للبيئة والمواجه للغرفة باختلاف الشهر ومادة الإنشاء

الطابوق العادي	كتل خرسانية اعتيادية		كتل جبسية		الكتل الخرسانية باستبدال الحصى بـ		كسر الطابوق		متوسط درجة حرارة الظل	الشهر		
	الاعتيادية		الجص		الحجر الأسود		الحجر الكلسي					
	المجوف	الصلد	المجوف	الصلد	المجوف	الصلد	المجوف	الصلد				
29.364	28.72	28.55	29.14	29.96	28.28	28.92	28.87	28.46	28.955	28.09	t_o	تشرين اول 26.68
23.955	24.68	24.32	24.50	24.32	24.32	25.773	24.59	24.73	25.050	24.182	t_i	
21.177	20.24	19.65	20.24	21.53	19.06	19.530	19.236	18.765	19.706	18.412	t_o	تشرين ثانی 14.812
13.590	13.765	13.418	13.059	13.353	13.412	13.647	13.824	14.118	14.177	13.412	t_i	
13.264	11.790	12.421	13.0	14.790	12.369	13.316	12.737	12.632	12.95	12.158	t_o	كانون الاول 10.232
7.053	7.053	7.0	7.211	7.421	7.790	8.369	8.211	8.106	8.369	7.737	t_i	
17.53	15.471	15.412	15.706	17.765	15.236	16.06	15.59	15.118	16.0	14.941	t_o	كانون الثاني 11.92
9.177	9.412	9.0	8.883	8.706	9.118	9.295	9.236	9.941	10.38	9.765	t_i	
19.1	18.80	18.90	19.50	20.30	18.90	19.30	19.05	19.15	18.90	18.6	t_o	شباط 15.7
14.1	14.50	14.50	14.10	14.00	14.45	14.80	14.55	14.90	15.10	15	t_i	
16.810	15.524	13.524	16.858	18.191	16.953	16.667	17.238	16.905	18.238	17.334	t_o	اذار 10.09
9.760	10.096	9.478	9.572	14.143	10.096	10.048	10.381	10.524	10.620	10.0	t_i	
30.1	27.131	26.696	28.566	29.783	27.131	22.261	29.653	29.348	30.218	29.609	t_o	نيسان 25.25
22.0	20.957	20.392	21.131	20.653	21.522	21.609	21.913	22.653	22.392	20.658	t_i	
35.9	34.9	35.9	36.5	38.30	36.63	37.0	36.741	37.1	38.08	37.52	t_o	آيار 32.47
34.6	30.8	30.0	30.7	30.2	30.93	31.4	31.89	31.2	32.56	28.9	t_i	
45.5	43.6	42.7	43.8	44.5	43.04	42.04	43.04	42.41	42.5	41.44	t_o	حزيران 34.9
37.8	38.7	37.41	38.2	37.08	38.04	37.6	37.75	37.60	36.7	34.97	t_i	
45.0	44.0	44.1	44.3	46.2	44.0	43.9	44.5	42.8	45.05	45.0	t_o	تموز 37.8
37.1	37.6	37.4	37.5	35.7	37.3	37.6	37.4	37.9	37.3	34.1	t_i	
48.0	47.8	48.2	46.3	50	48.3	48.4	49	48.5	49.3	48.8	t_o	آب 44.3
44.0	42.6	44.3	42	41.9	42.5	42.8	42.8	43.7	43.4	42.3	t_i	
35.9	34.9	35.9	36.5	38.30	36.63	37.0	36.741	37.1	38.08	37.52	t_o	أيلول 32.467
34.6	30.8	30.0	30.7	30.2	30.93	31.4	31.89	31.2	32.56	28.9	t_i	

t_o : درجة حرارة الجدار المواجه للبيئة °
 t_i : درجة حرارة الجدار المواجه للغرفة °

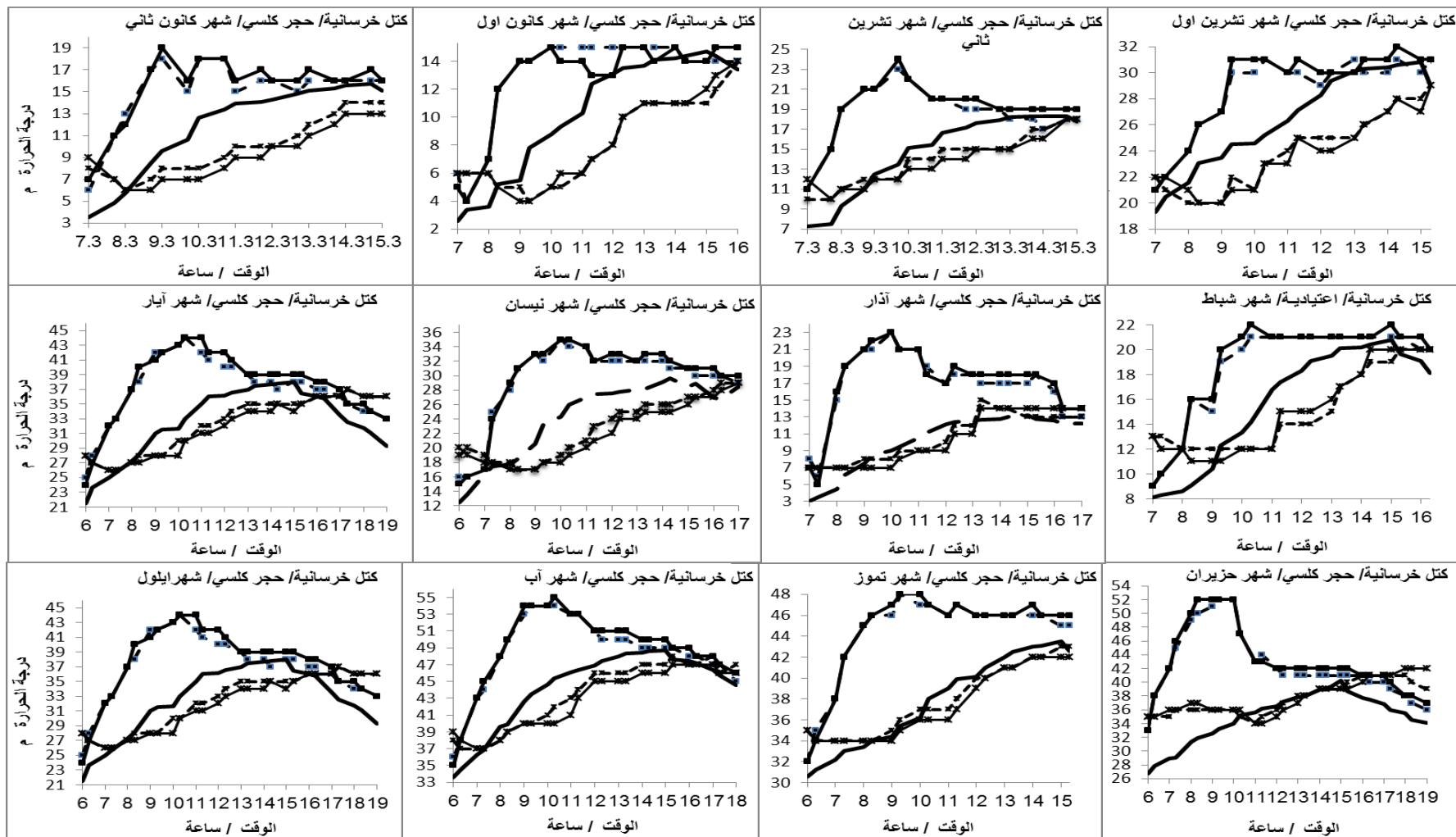
جدول (5) : كميات الحرارة المنتقلة خلال الجدران قيد الدراسة ونسبة توفيرها للطاقة

البيانات المطلوبة لتحليل الجدران												طبيعة الجدار												
النسبة المئوية لتغير حمل التكييف %			الطاقة الكهربائية المستهلكة لمكيفة الهواء kw-hr			الحمل الحراري والتبريدى للغرفة بوحدات kW			فرق درجات الحرارة بين الجدار والغرفة °C			متوسط درجة حرارة الجدار صيفاً °C		متوسط درجة حرارة الجدار شتاءً °C		طابوق	مغوف	صلد	أسود	كتل جبسية	كتل خرسانية عادية			
سنويًا	صيفاً	شتاءً	سنويًا	صيفاً	شتاءً	سنويًا	صيفاً	شتاءً	صيفاً	شتاءً	الخارجي	الداخلي	الخارجي	الداخلي										
0.42	2.7	+3.12	40.23	23.53	16.7	70.1	49.5	9.8	11.2	36.5	42.1	11.2	16.3	11.2	16.3	صلد	طابوق	BETON بتن أو جص concrete و أو جص concrete	حجر حلاں أو جص concrete	حجر حلاں أو جص concrete	مغوف	مغوف	صلد	صلد
7.83	6.7	2.4	37.24	22.55	14.68	67.2	43.5	9.5	10.2	36.2	42.7	11.8	17.2	11.8	17.2	صلد	مغوف							
4.6	2.8	7.1	38.55	23.5	15.05	70.0	44.6	9.8	10.4	36.5	41.5	11.65	16.6	11.65	16.6	صلد	صلد	حجر حلاں أو جص concrete	حجر حلاں أو جص concrete	حجر حلاں أو جص concrete	مغوف	مغوف	صلد	صلد
5.4	2.8	3.2	38.2	23.1	15.1	70	46.5	9.8	10.7	36.5	42.4	11.3	16.8	11.3	16.8	صلد	مغوف							
17	18	15.2	33.54	19.8	13.74	59.0	40.7	8.7	9.7	36.4	41.8	11.3	17	11.3	17	صلد	صلد	أسود	أسود	أسود	مغوف	مغوف	صلد	صلد
34.1	41.3	23.4	26.62	14.2	12.4	42.3	36.8	6.7	9.0	36.4	42.2	11	16.5	11	16.5	صلد	مغوف							
29.2	26.4	28.2	28.6	17.96	10.63	53.5	31.5	8.0	8.0	35.2	44	11.6	18.5	11.6	18.5	صلد	صلد	كتل جبسية	كتل جبسية	كتل جبسية	مغوف	مغوف	صلد	صلد
40.3	44	35.5	24.12	13.63	10.5	40.6	31.1	6.5	7.9	36.5	42.6	10.6	17.1	10.6	17.1	صلد	مغوف							
+3.5	+4.2	+2.7	41.81	25.17	16.64	75	49.3	10.3	11.2	37	42	10.8	16	10.8	16	صلد	صلد	أسود	أسود	أسود	مغوف	مغوف	صلد	صلد
			40.40	24.16	16.20	72	48	10	11	36.7	42.1	11	16.4	11	16.4	صلد	مغوف							
5.5	+5.6	+2.7	38.2	+23.43	14.75	76	49.3	10.4	11.2	37.1	45	10.8	17.6	10.8	17.6	صلد	صلد	الطابوق العادي	الطابوق العادي	الطابوق العادي	مغوف	مغوف	صلد	صلد



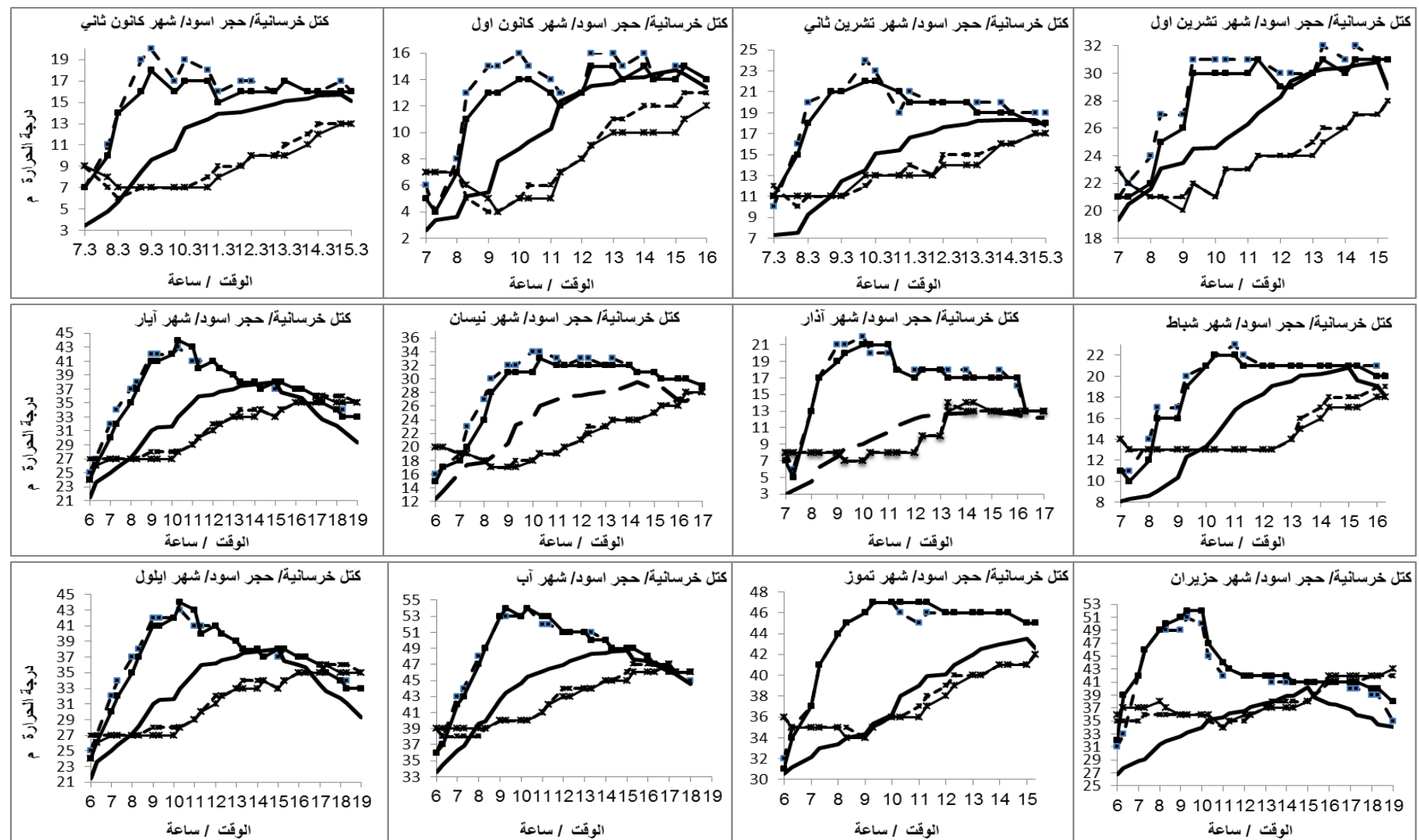
● درجة حرارة سطح المبني عند التشبييد بالكليل الصلدة —— درجة حرارة سطح المبني عند التشبييد بالكليل الموجفة —— درجة حرارة الهواء / البيئة / الفلل ✕ درجة حرارة سطح المبني المواجه للغرفة عند التشبييد بالكليل الصلدة —— درجة حرارة سطح المبني الواجه للغرفة عند التشبييد بالكليل الموجفة

شكل (2) : السلوك الحراري الساعي للكتل الخرسانية الصلدة والموجفة عند استبدال الحصى النهري بمادة كسر الطابوق ولأشهر السنة



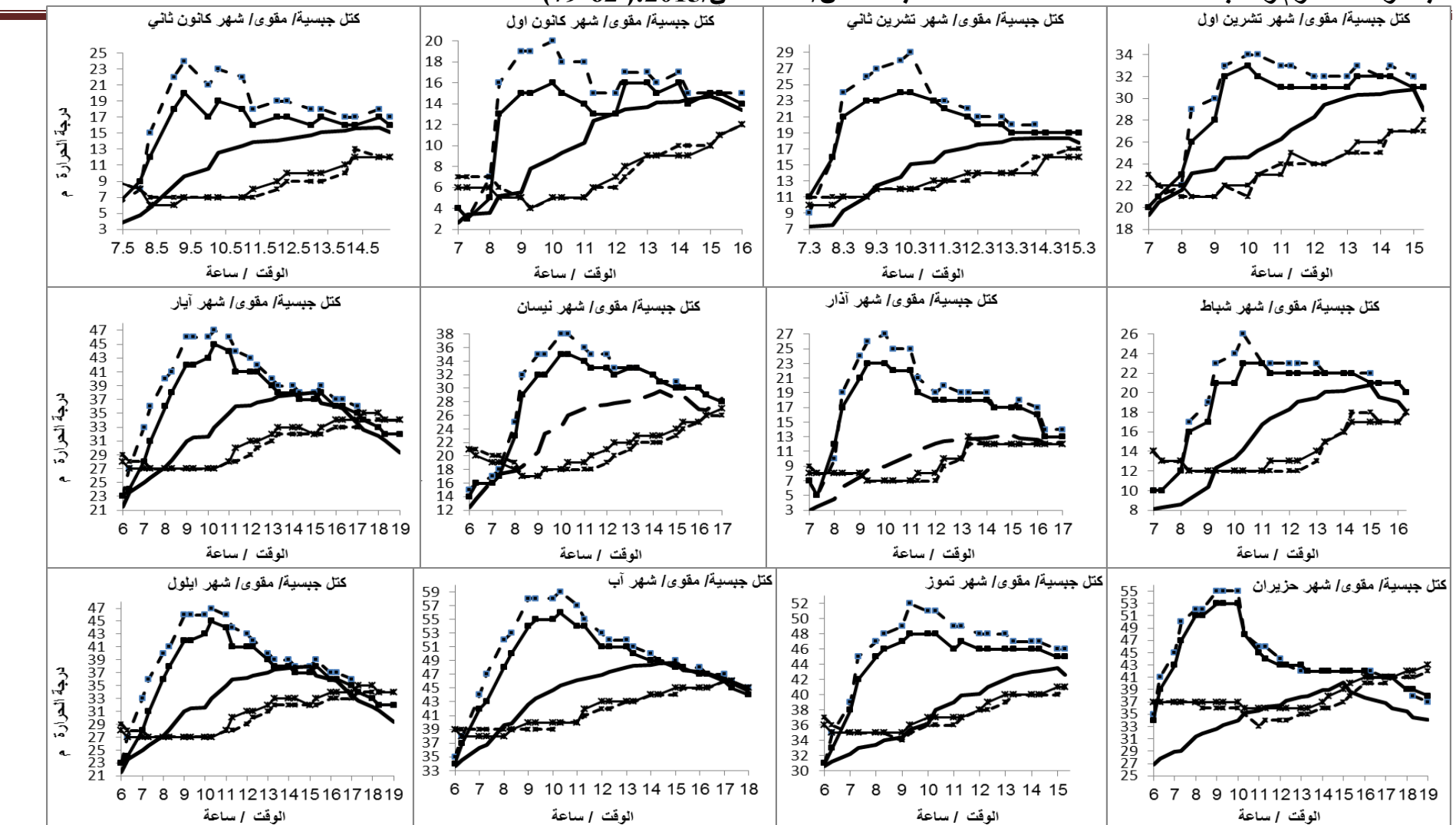
● درجة حرارة سطح المبني عند التشبييد بالكتل الصلدة — درجة حرارة سطح المبني عند التشبييد بالكتل الموجفة — درجة حرارة الهواء / البيئة / الظل — X درجة حرارة سطح المبني المواجه للغرفة عند التشبييد بالكتل الموجفة

شكل (3) : السلوك الحراري الساعي للكتل الخرسانية الصلدة والموجفة عند استبدال الحصى النهري بمادة الحجر الكلسي ولأشهر السنة



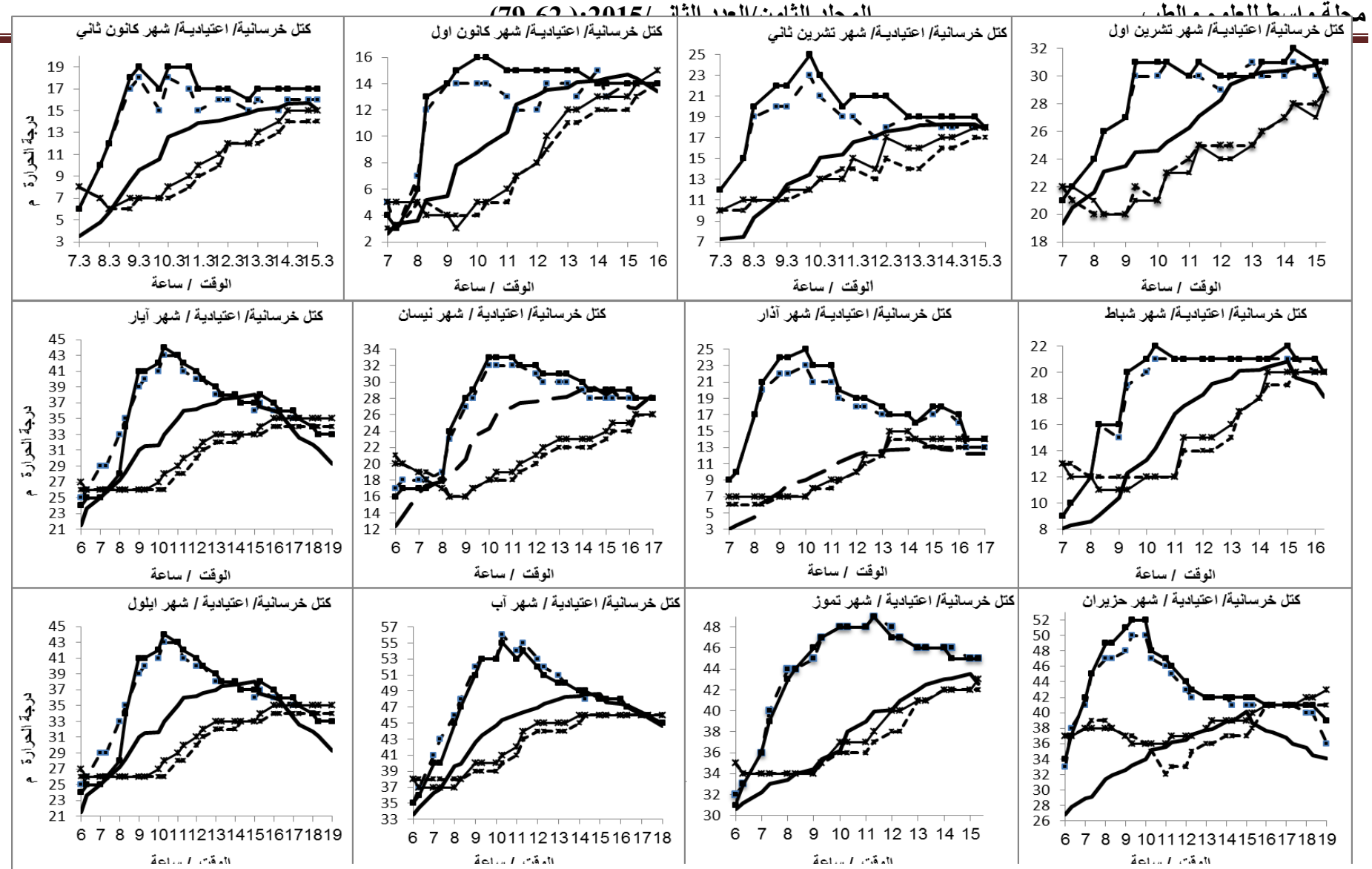
— درجة حرارة سطح المبني عند التشبييد بالكليل الصلدة — — درجة حرارة سطح المبني عند التشبييد بالكليل الم giofva — — درجة حرارة البناء / البيئة / الظل — درجة حرارة سطح المبني المواجه للغرفة عند التشبييد بالكليل الصلدة — — درجة حرارة سطح المبني الواجه للغرفة عند التشبييد بالكليل الم giofva

شكل (4) : السلوك الحراري الساعي لكتل الخرسانية الصلدة والم giofva عند استبدال الحصى النهري بمادة الحجر الأسود ولأشهر السنة



— درجة حرارة سطح المبني عند التشيد بالكلل الصدمة — درجة حرارة سطح المبني عند التشيد بالكلل الموجفة — درجة حرارة البناء / البناء / الظل — درجة حرارة سطح المبني الواجه للغرفة عند التشيد بالكلل الصدمة — درجة حرارة سطح المبني الواجه للغرفة عند التشيد بالكلل الموجفة

شكل (5) : السلوك الحراري الساعي للكتل الجبسية الصدمة والموجفة والمسلحة بشبكة الفايبر كلاس ولأشهر السنة



— درجة حرارة سطح المبني عند التثبيت بالكلل الصدمة — — درجة حرارة سطح المبني عند التثبيت بالكلل العجوفة — — درجة حرارة سطح المبني الواجه للغرفة عند التثبيت بالكلل العجوفة — — درجة حرارة سطح المبني العادي / البناء / الظل —

شكل (6) : السلوك الحراري الساعي للكتل الخرسانية الصدمة والمجوفة ولأشهر السنة

جدول (6) : التحليل الاقتصادي لجدار مشيد من الكتل البناءية (قيد الدراسة)

النسبة المئوية للتحفيض %100	الكلف الكلية (B+A)	الكلف التشغيلية السنوية ID/year						الكلف الأولية ID/year				جدار مشيد باستخدام
		مجموع الكلف السنوية الكلية B	الكلف السنوية لاستهلاك الطاقة	كلف الاندثار السنوية	كلف الصيانة السنوية	الكلف السنوية الأولية A	كلف نصب أجهزة تكييف الهواء	الكلف السنوية لشراء أجهزة التكييف	الكلف السنوية لتشييد الجدار			
		لأجهزة التكييف	لجدار	لأجهزة التكييف	لجدار							
	159160	100760	36360	8000	48000	2400	6000	58400	2400	48000	8000	مجوفة
+4.94	167030	106580	37360	10000	49000	2450	7500	60450	2450	49000	10000	صلدة
-0.16	159408	99558	23958	21000	37000	1850	15750	59850	1850	37000	21000	مجوفة
+14.53	182288	115238	30188	24000	41000	2050	18000	67050	2050	41000	24000	صلدة
+10.355	175630	111380	34380	17000	45000	2250	12750	64250	2250	45000	17000	مجوفة
+16.64	185645	11729	34695	19000	47000	2350	14250	68350	2350	47000	19000	صلدة
-3.92	152918	97718	3378	12000	41000	2200	9000	55200	2250	41000	12000	مجوفة
+9.86	174858	110408	36208	13000	49000	2450	9750	64450	2450	49000	13000	صلدة
-34.23	104683	65633	21708	6500	31000	1550	4875	39050	1550	31000	6500	مجوفة
-27.78	114940	73340	25740	8000	32000	1600	6000	41600	1600	32000	8000	صلدة
-0.71	158035	95485	34380	13000	49100	2455	8250	62550	2455	49100	11000	مثقب
												طابوق فني

جدول (7) : التحليل الاقتصادي لجدار مشيد من الكتل البنيانية (قيد الدراسة) لم يؤخذ بنظر الاعتبار تكلفة وجود مكيفة هواء في المبني

التوفر المتتحقق %	تسلسل الكلفة الكلية من الأدنى إلى الأعلى	الكلف الكلية (B+A)	الكلف التشغيلية السنوية ID/year					الكلف الأولية ID/year		جدار مشيد باستخدام	
			تسلسل الكلف التشغيلية من الأدنى إلى الأعلى	مجموع الكلف السنوية الكلية B	الكلفة السنوية لاستهلاك الطاقة	كلف الاندثار السنوية	تكلفة الصيانة السنوية A	تكلفة الكلفة السنوية A	تسلسل تكلفة إنشاء الجدار من الأدنى إلى الأعلى		
*	6	98360	7	90360	36360	48000	6000	8000	2	8000	مجوفة
*	7	104130	9	94130	37360	49000	7500	10000	3	10000	صلدة
0.7	5	97708	3	76708	23958	37000	15750	21000	9	21000	مجوفة
*	10	113188	6	89188	30188	41000	18000	24000	10	24000	صلدة
*	9	109130	8	92130	34380	45000	12750	17000	7	17000	مجوفة
*	11	114945	11	95945	34695	47000	14250	19000	8	19000	صلدة
2.9	4	95518	5	83518	3378	41000	9000	12000	5	12000	مجوفة
*	8	107958	10	94958	36208	49000	9750	13000	6	13000	صلدة
40	1	64083	1	57583	21708	31000	4875	6500	1	6500	مجوفة
27.1	2	71740	2	63740	25740	32000	6000	8000	2	8000	صلدة
7.5	3	91030	4	80030	34380	49100	8250	11000	4	11000	متقب

* لم تتحقق هذه الجدران أي تخفيض في الكلفة الكلية

المصادر

- 1- **Jones, W.P. (1987)** Air-Conditioning Eng. Edward Arnold, London, حسن، عاطف علي (2012) السلوك الحراري للجدران المحلية المنفذة حالياً وتلك المقترحة. مجلة الأنبار للعلوم الهندسية . (5): - كلية الهندسة / جامعة الأنبار – العراق.
- الجهاز المركزي للإحصاء – المجموعة الإحصائية السنوية(2011) . وزارة التخطيط والتعاون الإنمائي/العراق.
- العزي – د. محمد أيوب (1986). المشاكل المتعلقة بصناعة مواد البناء – تقرير من منشورات مركز بحوث البناء مجلس البحث العلمي – العراق.
- حسن، عاطف علي (2010) استخدام حجر الحلان لإنتاج جدران غير ساندة مسابقة التصنيع بديلة عن الطابوق سمك 120 ملم مع دراسة مقارنة للعوازل الحرارية. مجلة كلية المأمون. 16. كلية المأمون الجامعية/العراق
- حسن، عاطف علي (2012). دراسة السلوك الحراري للجدران الخرسانية الملائمة للمناخ الحار وبديلة عن الطابوق. مقبول للنشر في المجلة العراقية للهندسة المدنية – 2012 . كلية الهندسة/جامعة الأنبار/العراق.
- حسون، الصفار – نبيل لطيف، عبد الله، عادل شاكر (2010) . البديل عن الحرق في صناعة الطابوق. المؤتمر العلمي الأول لكلية هندسة المواد/ جامعة بابل (2010/12/29-28)
- 8- **Tarrad- A. H., Salah – A.& Ali – W. A. (2009)** .Experimental and theoretical study to minimize the cooling load by using a new alternative in space located in Baghdad city. Journal of engineering and development,13(3):109-127
- 9- **Zhu – L. , Hurt – R., Correa – D.,& Boehm – R.(2009)** .Comprehensive energy and economic analyses on a zero energy house versus a conventional house. energy, 34(9).
- 10- **Garg M.,Jain N(2010)**.Waste gypsum from intermediate dye industries for production of building materials. Construction and building materials,,24(9):1632-1637
- 11- **Sokolova – S. N. , Vereshagin – V. I. (2010)** . Light weight granular material from Zeolite rocks with different additives. Construction and building] materials, 24(4):625-629
- 12- **Vollando – S., Vereshchagin – V. (2012)** .Cellular glass ceramic materials on the basis of Zeolitic rock. Construction and building materials,36 :940-946
- 13- **Abdoqa M. M.(1980)** . Investigation the use of crushed limestone rock aggregate in concrete. M. Sc. Thesis, university of Baghdad, .
- 14- **Mazin T. H. , Mohammad A. K. and Ali H. A.(1990)** .Crushed bricks as aggregate in constructional concrete., Al – Taqani Journal for eng. Researches, foundation of technical education,(6): .
- 15- **. ASTM,C567/C567M-H 1992** .Standard Test method for determining density of structural Light Weight concrete .
- 16- **Arora, S. Domkundwar (2007)**. A Course in Refregeration & Air –Conditioning Dhanput Rai & Sons – Delhi.
- 17- **Rohsenow – Warren m., Hartnett – James P.** Handbook of Heat transfer
- 18- **ASHRAE . (1997)** . Handbook of fundamentals , American Society of Heating , Refrigeration, & Air – Conditioning Eng.
- 19- **De Garmo, E.Paul & Canada, John R.(1975)** .Engineering economy. fifth edition Macmillan publishing Co., New-York-U.S.A.